

1. Seja o problema:

$$u = -\frac{dp}{dx} \quad \text{em } \Omega \quad (1)$$

$$\frac{du}{dx} = f \quad \text{em } \Omega \quad (2)$$

$$p = g \quad \text{sobre } \partial\Omega \quad (3)$$

onde  $\Omega = [a, b]$ .

a) É possível definir o problema (1)-(3) em cada elemento  $k$  da seguinte forma:

$$u = -\frac{dp}{dx} \quad (4)$$

$$\frac{du}{dx} = f \quad (5)$$

Suplantados por condições de contorno para cada elemento da seguinte forma:

$$p = \lambda, \text{ sobre } \delta K \quad (6)$$

Ainda, temos que  $\lambda = g$  sobre  $\delta\Omega$ , para impor a condição de contorno ao problema (1)-(2).

Para a definição do problema de maneira descontínua, é necessário suplementá-lo com condições de transmissibilidades entre cada elemento do domínio garantindo que nas interfaces entre elementos:

$$[[p]] = 0 \quad (7)$$

$$[[u]] = 0 \quad (8)$$

Dessa forma, o salto entre elementos é zero para ambas as variáveis, garantindo a continuidade da solução.

b) Tendo a definição do item a), é possível formular o problema (1)-(3) com  $\lambda$  conhecido.

$$\int_K u v dx + \int_K \frac{dp}{dx} v dx = 0 \quad (9)$$

$$\int_K \frac{du}{dx} q dx = \int_K f q dx \quad (10)$$

Para obter as equações (9) e (10), multiplica-se as equações (1) e (2) por funções  $v$  e  $q$ , respectivamente, e é aplicada a integral.

O próximo passo é integrar por partes a equação (9), e multiplicar a equação (10) por  $-1$  obtendo:

$$\int_K u v dx - \int_K p \frac{dv}{dx} + \lambda v \Big|_{\delta K} = 0 \quad (11)$$

$$-\int_K \frac{du}{dx} q dx = -\int_K f q dx \quad (12)$$

Observa-se que nessa formulação, temos o multiplicador de Lagrange  $\lambda$  na interface entre os elementos. Sendo o valor dos multiplicadores  $\lambda$  conhecidos, essa não é uma variável do sistema. Porém, para a solução desse problema, é necessária a adição de um termo de penalização:

$$\int_K u v dx - \int_K p \frac{dv}{dx} + \lambda v \Big|_{\delta K} = 0 \quad (13)$$

$$-\int_K \frac{du}{dx} q dx + \beta(p - \lambda)q \Big|_{\delta K} = -\int_K f q dx \quad (14)$$

- c) Em um domínio unidimensional  $\Omega = [0, 1]$  tendo a solução exata  $p = \cos(\pi x)$ , é possível apresentar resultados da aproximação formulada em (13)-(14) estabelecendo uma comparação com a solução exata utilizando polinômios lineares.

Estabelecendo  $\beta = 10$ , temos:

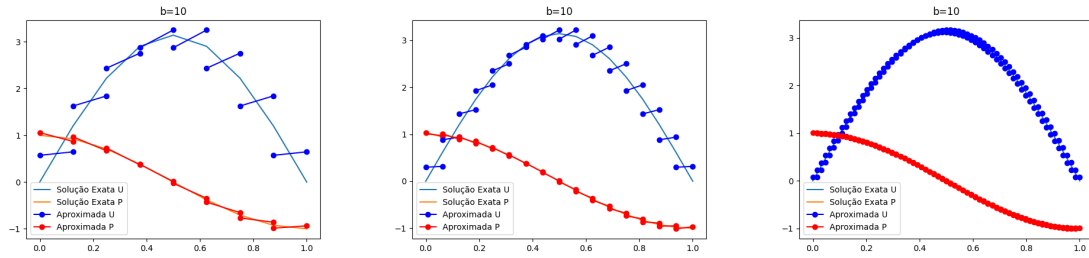


Figura 1: São observadas as aproximações de  $u$  e  $p$ , comparando com a solução exata, utilizando 8, 16 e 64 elementos respectivamente.

Além comparação entre aproximação e solução exata com  $\beta$  fixo, pode-se fixar o número de elementos, e observar o impacto de  $\beta$  na aproximação na figura 2. É observado, que quando adota-se um valor pequeno para  $\beta$ , a solução se aproxima muito menos da exata, apresentando grandes saltos entre os elementos. Conforme ocorre um aumento do valor de  $\beta$  a aproximação converge melhor para a solução exata.

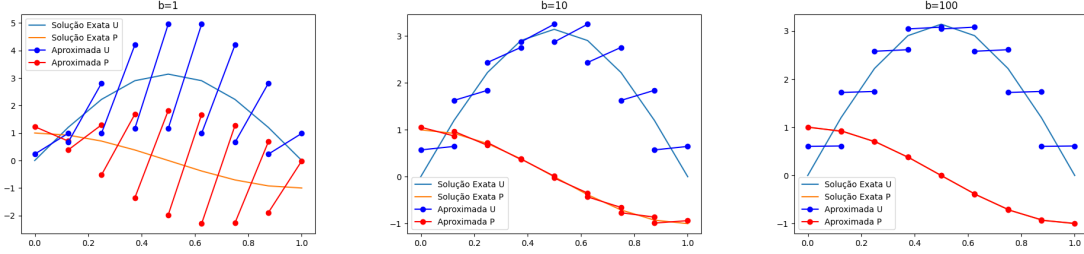


Figura 2: Gráficos das aproximações realizadas com 8 elementos, utilizando  $\beta = 1, 10, 100$  respectivamente

d) Incluindo o termo de estabilização

$$-\frac{1}{2} \int_K \left( u + \frac{dp}{dx} \right) \left( v + \frac{dq}{dx} \right) dx, \quad (15)$$

e tomando  $\beta = 0$ , temos 3:

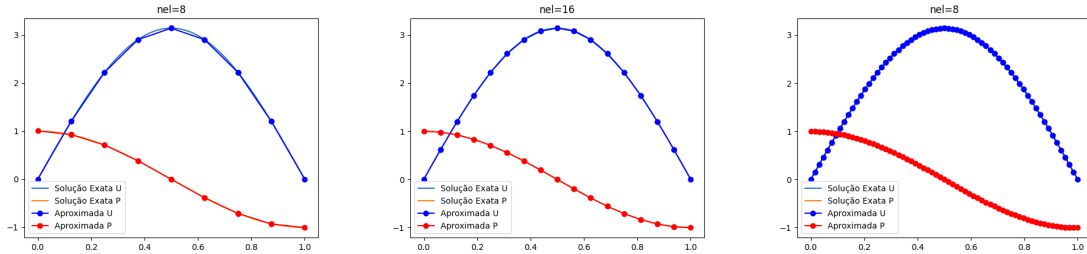


Figura 3: Gráficos comparando a aproximação com o termo de estabilização do item d) para ambas as variáveis utilizando 8, 16 e 64 elementos respectivamente.

Em comparação com as aproximações realizadas no item c), as aproximações com  $\beta = 0$  e com o termo de estabilização de mínimos quadrados (15) convergem mais rapidamente e apresentam um salto entre elementos muito menor do que o apresentado anteriormente.

e) Suponha agora que o multiplicador  $\lambda$  é uma incógnita, apresente uma formulação híbrida para o problema (1)-(3), com  $\lambda = p$  sobre  $\partial K$ .

Tomando como base a formulação (13)-(14), observa-se que o sistema possui duas equações linearmente independentes e três variáveis, tornando-o indeterminado. Dessa forma, é necessário adicionar uma terceira equação, sendo essa a equação do multiplicador.

$$u\mu|_{\delta K} = 0 \quad (16)$$

É necessário também, adicionar a essa equação o termo de penalização:

$$u\mu|_{\delta K} + \beta(p - \lambda)q|_{\delta K} = 0 \quad (17)$$

Dessa forma, temos a formulação para o método híbrido com  $\lambda$  variável:

$$\int_K u v dx - \int_K p \frac{dv}{dx} + \lambda v \Big|_{\delta K} = 0 \quad (18)$$

$$- \int_K \frac{du}{dx} q dx + \beta(p - \lambda) q \Big|_{\delta K} = - \int_K f q dx \quad (19)$$

$$u \mu \Big|_{\delta K} + \beta(p - \lambda) q \Big|_{\delta K} = 0 \quad (20)$$

Para resolver o problema (1)-(3) utilizando a formulação (18)-(20), estrutura-se matricialmente o problema da seguinte forma:

$$a([u_h, p_h], [v_h, q_h]) = \int_{x_k}^{x_{k+1}} u_h v_h dx - \int_{x_k}^{x_{k+1}} p_h \frac{dv_h}{dx} dx - \int_{x_k}^{x_{k+1}} q_h \frac{du_h}{dx} dx + \beta p_h q_h \Big|_{x_k}^{x_{k+1}} \quad (21)$$

$$b(\lambda_h, [v_h, q_h]) = \lambda_h v_h \Big|_{x_k}^{x_{k+1}} - \beta \lambda_h q_h \Big|_{x_k}^{x_{k+1}} \quad (22)$$

$$c(\lambda_h, \mu_h) = \beta \lambda_h \mu_h \Big|_{x_k}^{x_{k+1}} \quad (23)$$

$$f([v_h, q_h]) = - \int_{x_k}^{x_{k+1}} f q_h dx \quad (24)$$

Após definir as matrizes, busca-se resolver o seguinte sistema:

$$\begin{bmatrix} \mathcal{A}_k & \mathcal{B}_k \\ \mathcal{B}_k^T & \mathcal{C}_k \end{bmatrix} \begin{bmatrix} \mathcal{U}_k \\ \Lambda_k \end{bmatrix} = \begin{bmatrix} \mathcal{F}_k \\ 0 \end{bmatrix} \quad (25)$$

Aplicando a condensação estática a esse sistema, chega-se ao seguinte sistema:

$$(\mathcal{B}_k^T \mathcal{A}_k^{-1} \mathcal{B}_k - \mathcal{C}_k) \Lambda = \mathcal{B}_k^T \mathcal{A}_k^{-1} \mathcal{F}_k \quad (26)$$

Dessa forma, para calcular o valor do multiplicador de Lagrange  $\lambda$  basta resolver o sistema linear (26). Com o valor calculado para o multiplicador, é resolvido o problema (1)-(3) da mesma forma que no item c), porém utilizando os valores de  $\lambda$  calculados no lugar da solução exata.

- f) Simulando a formulação do item (e) com  $\beta = \frac{\beta_0 k^2}{h}$ , é possível apresentar um teste de convergência tanto para  $u$  quanto para  $p$  utilizando polinômios de ordem  $k = 1, 2, 3, 4$ .

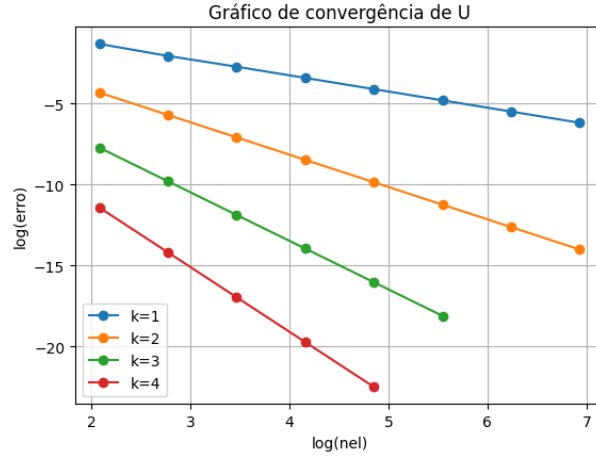


Figura 4: Gráfico do teste de convergência para a variável  $u$ , utilizando valor de  $\beta_0 = 10$ . Observa-se que as taxas de convergência é igual a 1 para polinômio linear, 2 para polinômio quadrático, 3 para polinômio cúbico e 4 para polinômio quártico.

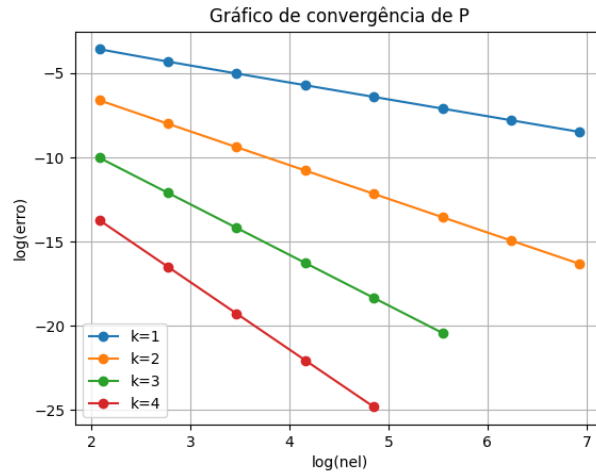


Figura 5: Gráfico do teste de convergência para a variável  $p$ , utilizando o valor de  $\beta_0 = 10$ . Observa se que a taxa de convergência é igual a um para o polinômio linear, 2 para o polinômio quadrático, 3 para o polinômio cúbico e 4 para o polinômio quártico.

Utilizando o  $\beta_0 = 10$ , observa-se que tanto para a variável  $u$  quanto para a variável  $p$  temos uma taxa de convergência subótima de ordem  $k$ .

Normalmente é utilizado  $\beta_0 = \frac{1}{h}$  para definir o valor do peso  $\beta$  de penalização. Refazendo o

teste de convergência utilizando essa função para definir  $\beta_0$ , temos:

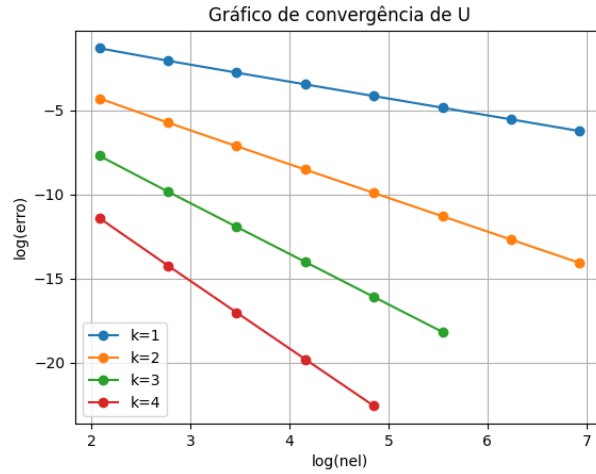


Figura 6: Gráfico do teste de convergência para a variável  $u$ , utilizando valor de  $\beta_0 = \frac{1}{h}$ . Observa-se que as taxas de convergência é igual a 1 para polinômio linear, 2 para polinômio quadrático, 3 para polinômio cúbico e 4 para polinômio quártico.

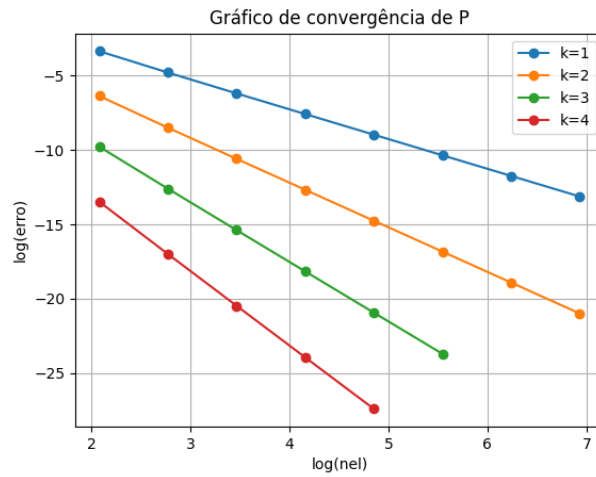


Figura 7: Gráfico do teste de convergência para a variável  $p$ , utilizando o valor de  $\beta_0 = \frac{1}{h}$ . Observa se que a taxa de convergência é igual a 2 para o polinômio linear, 3 para o polinômio quadrático, 4 para o polinômio cúbico e 5 para o polinômio quártico.

Utilizando o  $\beta_0 = \frac{1}{h}$ , observa-se que para a variável  $u$  temos taxa de convergência sub-ótima de ordem  $k$ , e para a variável  $p$  temos taxa ótima de ordem  $k + 1$ .

- g) Repetindo o item (f) incluindo o termo de estabilização (15) com  $\beta = 0$ , temos os testes de convergência:

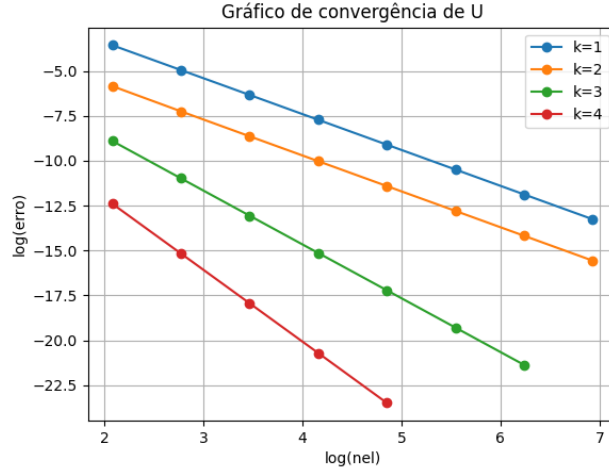


Figura 8: Gráfico do teste de convergência para a variável  $u$ , utilizando valor de  $\beta_0 = 0$  e o termo de estabilização (15). Observa-se que as taxas de convergência é igual a 2 para polinômio linear, 2 para polinômio quadrático, 3 para polinômio cúbico e 4 para polinômio quártico.

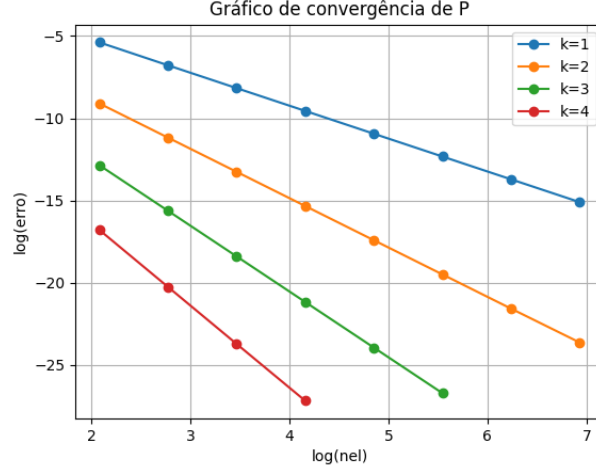


Figura 9: Gráfico do teste de convergência para a variável  $p$ , utilizando valor de  $\beta_0 = 0$  e o termo de estabilização (15). Observa-se que as taxas de convergência é igual a 2 para polinômio linear, 3 para polinômio quadrático, 4 para polinômio cúbico e 5 para polinômio quártico.

Dessa forma, utilizando o  $\beta_0 = 0$  e o termo de estabilização (15), observa-se que para a variável  $u$  temos taxa de convergência sub-ótima de ordem  $k$ , e para a variável  $p$  temos taxa ótima de ordem  $k + 1$ . Porém, também é interessante notar que para o polinômio linear, a taxa de convergência da variável  $u$  foi na ordem de  $k + 1 = 2$ .

h) Repetindo o item (f) incluindo, além do termo (15), o termo de estabilização

$$\frac{1}{2} \int_K \left( \frac{du}{dx} - f \right) \frac{dv}{dx} dx, \quad (27)$$

com  $\beta = 0$  temos os testes de convergência:



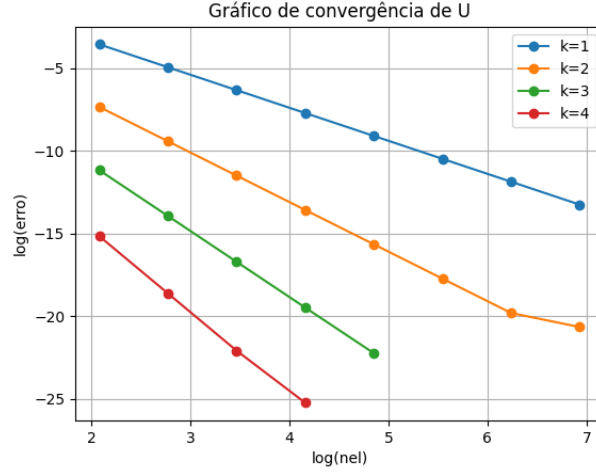


Figura 10: Gráfico do teste de convergência para a variável  $u$ , utilizando valor de  $\beta_0 = 0$  e os termos de estabilização (15) e (27). Observa-se que as taxas de convergência é igual a 2 para polinômio linear, 3 para polinômio quadrático, 4 para polinômio cúbico e 5 para polinômio quártico.

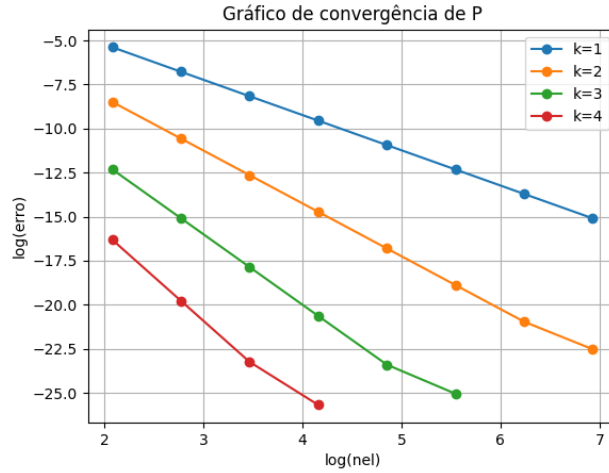


Figura 11: Gráfico do teste de convergência para a variável  $p$ , utilizando valor de  $\beta_0 = 0$  e os termos de estabilização (15) e (27). Observa-se que as taxas de convergência é igual a 2 para polinômio linear, 3 para polinômio quadrático, 4 para polinômio cúbico e 5 para polinômio quártico.

Dessa forma, observa-se que ao adicionar os termos de estabilização de mínimos quadrados (15) e (27), ambas as variáveis  $u$  e  $p$  convergem em taxa ótima de ordem  $k + 1$ .